

2024届高三10月质量检测

地理

全卷满分100分,考试时间90分钟。

注意事项:

1. 答题前,先将自己的姓名、准考证号填写在试卷和答题卡上,并将条形码粘贴在答题卡上的指定位置。
2. 请按题号顺序在答题卡上各题目的答题区域内作答,写在试卷、草稿纸和答题卡上的非答题区域均无效。
3. 选择题用2B铅笔在答题卡上把所选答案的标号涂黑;主观题用黑色签字笔在答题卡上作答;字体工整,笔迹清楚。
4. 考试结束后,请将试卷和答题卡一并上交。

一.选择题:本大题共25小题,每小题2分,共50分。在每个小题给出的四个选项中,只有一个选项是符合题目要求的。

太阳耀斑和日冕物质抛射是剧烈的太阳活动爆发。天文学家在太阳耀斑事件中观察到了暗条和热通道,两者分别位于不同的太阳大气分层,热通道位于暗条的上方,与暗条处于同一层。右图示意暗条—热通道系统结构。读图,完成1~2题。



1. 暗条和热通道分别位于太阳大气的
 - A. 光球层、色球层
 - B. 色球层、光球层
 - C. 日冕层、色球层
 - D. 色球层、日冕层

2. 暗条和热通道物质活跃时,可能导致
 - A. 电网稳定水平提高
 - B. 地球南北磁极倒转
 - C. 地表白昼时间变长
 - D. 卫星导航遭到干扰

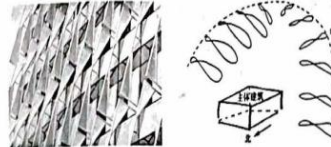
66号公路被誉为美国的景观大道,东起芝加哥(41°N,87°W)(西六区,中部时间),西到洛杉矶(34°N,118°W)(西八区,西部时间)。小明同学于北京时间6月17日12时整从芝加哥出发,沿66号公路西行,沿途游览,历时7天7小时到达洛杉矶。据此完成3~4题。

3. 小明同学出发时,看到太阳位于
 - A. 东北方
 - B. 东南方
 - C. 西北方
 - D. 西南方

4. 小明同学本次旅行
 - ①旅途中昼长先变短再变长
 - ②旅途中日出方向先向北再向南移
 - ③到达洛杉矶时尚未日落
 - ④到达洛杉矶时繁星满天
 - A. ①③
 - B. ①④
 - C. ②③
 - D. ②④

【高三地理 第1页(共6页)】

位于北半球的某能源实验室预计将于2024年建成,实验室主体建筑东西两面宽,南北两面窄,在西侧安装如下图所示的遮阳装置。右图中每一个“8”字形轨迹为一年中不同日期相同地方时整点时太阳位置的连线(7点~17点),虚线代表夏至日太阳视运动轨迹。读图,完成5~6题。



5. 在该实验室西侧安装遮阳装置,主要因为与上午相比,下午
 - A. 气温较高
 - B. 光照时间较长
 - C. 太阳高度较大
 - D. 太阳移动速度更快

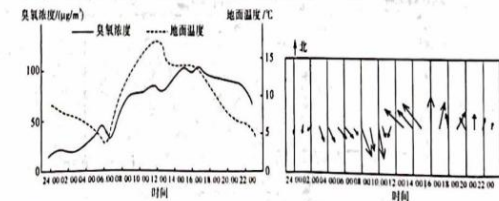
6. 甲轨迹代表地方时
 - A. 8时
 - B. 12时
 - C. 14时
 - D. 16时

热带气旋“朵拉”的“胚胎”自2023年7月21日在西非附近海域生成,向西越过北大西洋、中美地峡,于7月28日进入东北太平洋,能量快速加强,并一路快速西行,于8月12日进入西北太平洋,成为2018年以来西北太平洋首个“进口台风”。据此完成7~8题。

7. 热带气旋“朵拉”一路快速西行,其加速的动力主要来自较强的
 - A. 东南信风
 - B. 东北信风
 - C. 北赤道暖流
 - D. 赤道逆流

8. “朵拉”越过中美地峡后,其能量快速增强,说明东北太平洋可能出现
 - A. 厄尔尼诺现象,水温较高
 - B. 厄尔尼诺现象,水温较低
 - C. 拉尼娜现象,水温较高
 - D. 拉尼娜现象,水温较低

辽宁葫芦岛某大气环境监测站距海较近,其时流层臭氧浓度在春、夏、秋三个季节受海陆风影响明显。下面左图示意该日地面温度和臭氧浓度变化,右图示意某年春季海陆风典型日该站风向和风力(箭头长度表示风力越大)的变化。读图,完成9~11题。



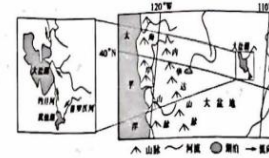
9. 推测该观测站附近陆地处于海洋的
 - A. 西南侧
 - B. 西北侧
 - C. 东南侧
 - D. 东北侧

10. 该观测站对流层臭氧浓度高值出现的原因有
 - ①污染物回流
 - ②天气晴朗,易合成臭氧
 - ③对流旺盛
 - ④气压较高
 - A. ①②
 - B. ①④
 - C. ②③
 - D. ③④

11. 该观测站冬季海陆风难以引起臭氧浓度变化,主要因为冬季
 - ①海域结冰
 - ②白昼更短
 - ③晴天较少
 - ④冬季风强
 - A. ①②
 - B. ①④
 - C. ②③
 - D. ③④

【高三地理 第2页(共6页)】

犹他湖湖面海拔1400米,平均水深2.7米,为史前纳纳维尔湖的残存部分。尽管地质历史时期经历了大湖萎缩,但犹他湖仍然是淡水湖,春季犹他湖面积扩大,夏季缩小,秋季略有扩大。下图示意犹他湖的位置。读图,完成12~13题。



12. 犹他湖成为淡水湖,关键取决于
 - A. 降水
 - B. 蒸发
 - C. 径流
 - D. 下渗

13. 春季犹他湖的主要补给方式
 - A. 受气温影响大
 - B. 水量稳定
 - C. 输沙能力强
 - D. 水温较高

塔里木盆地沙尘天气具有独特的浮尘滞留特征。浮尘滞留时,地面气压差形势可分为高压前部(冷高压前部)、高压底部型和均压场型。下表示意浮尘滞留时不同类型的地面气压形势频次。读表,完成14~16题。

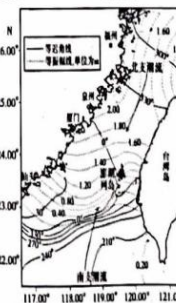
	1月	2月	3月	4月	5月	6月	7月	8月	9月	10月	11月	12月	合计
高压前部/次	0	4	21	25	22	5	2	12	8	6	3	1	112
均压场型/次	0	0	21	20	46	28	20	0	8	2	1	0	146
高压底部型/次	2	18	56	17	16	4	0	0	3	7	13	2	138

14. 引发浮尘滞留的气压形势
 - A. 均压场型季节分布最集中
 - B. 高压前部型时间跨度最大
 - C. 高压底部型出现频次最高
 - D. 不同类型时间错位明显

15. 高压前部型浮尘滞留现象出现时,所受的天气系统主要是
 - A. 冷锋
 - B. 暖锋
 - C. 低压槽
 - D. 高压脊

16. 均压场型形成浮尘滞留的原因有
 - ①风速小
 - ②升温快
 - ③气流下沉
 - ④湿度较小
 - A. ①②③
 - B. ①②④
 - C. ②③④
 - D. ①③④

海水周期性的涨落现象为潮汐,海水周期性的水平方向流动为潮流。振幅型容潮沙高潮位和低潮位的高度差,达角指通过角度描述潮流峰值出现的时刻与月球引力达到最高点时刻的时间差。南北两段潮流系统在台湾海峡交汇,澎湖列岛附近潮流迅猛。右图示意某日台湾海峡潮汐等振幅线和潮流等达角线。读图,完成17~19题。



17. 该日台湾海峡的潮汐
 - A. 自北向南减弱
 - B. 自东向西增强
 - C. 在福建省沿海较强
 - D. 在台湾省沿海差异较小

【高三地理 第3页(共6页)】

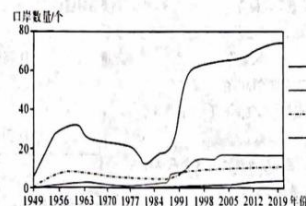
18. 澎湖列岛西部海域潮流迅猛复杂,主导因素是
A. 潮流迟角 B. 潮汐振幅 C. 水面宽度 D. 海陆轮廓

19. 南北内股潮流系统
A. 提高了台湾海峡渔获量 B. 为台湾海峡增温增湿
C. 加强了福建省沿海的潮汐 D. 有利于横渡台湾海峡的航行

柏桥村位于粤西茂名市,村内有树龄1300年以上的古荔枝树9棵,树龄超过500年的39棵,被誉为“荔枝博物馆”。广东省农业部门选择柏桥村作为省级“一村一品”荔枝生产专业村,并孵化出1家国家级农业专业合作社和1家省级农业食品龙头企业。该龙头企业近年来不断“加码”科技力量,投入智能化烘干设备、自动去核装置、全自动包装机。据此完成20~22题。

20. 监测并计算柏桥村荔枝林每年面积的变化需要
①人工智能技术 ②全球卫星导航系统 ③遥感 ④地理信息系统
A. ①② B. ①③ C. ②③ D. ③④
21. 选择柏桥村作为“一村一品”荔枝生产专业村主要考虑当地
①市场容量 ②种植经验 ③地域文化 ④土地成本
A. ①② B. ①③ C. ②③ D. ③④
22. 该食品公司“加码”科技力量显著降低了
A. 劳动力成本 B. 原料成本
C. 设备成本 D. 场地成本

边境口岸是国家沿边开放的门户,是与周边国家进行贸易往来和社会文化交流的枢纽节点。自1949年新中国成立以来,我国边境口岸数量经历了复杂的变化。我国边境地区缺乏大型城市,而20世纪90年代随着和东南亚联系的加强,湄公河等国际河流域开发加快。下图示意1949年以来我国不同类型口岸数量变化。读图,完成23~25题。



23. 甲、乙、丙、丁分别代表
A. 公路口岸、航空口岸、水运口岸、铁路口岸
B. 铁路口岸、航空口岸、公路口岸、水运口岸
C. 公路口岸、水运口岸、铁路口岸、航空口岸
D. 铁路口岸、水运口岸、航空口岸、公路口岸
24. 与不同年份口岸数量关系最为密切的是我国的
A. 国民经济体量 B. 边境人口数量
C. 对外开放水平 D. 交通设施条件
25. “夏水冬车”两栖口岸主要分布在
A. 黑龙江 B. 云南 C. 内蒙古 D. 广西

【高三地理 第4页(共6页)】

- 二、非选择题:共50分。
26. 阅读图文材料,完成下列要求。(8分)

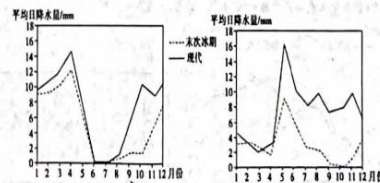
长岛地处美国东海岸,为飓风多发地区。某飓风在长岛西侧登陆,在长岛海峡引发强烈的风暴潮增水,增水高度自东向西递增。下图示意长岛的位置和该飓风的路径。



- (1) 简述长岛常受飓风侵袭的自然原因。(4分)
(2) 该飓风登陆时,长岛海峡西侧增水高度远大于东侧,对此做出合理解释。(4分)

27. 阅读图文材料,完成下列要求。(12分)

亚马孙平原深受南美季风的影响。研究表明,末次冰期亚马孙平原水汽来源不足,降水状况与现代有明显差异。末次冰期以来,亚马孙平原水汽含量增加,通过水的相态变化能加强大陆上的热低压。下图示意亚马孙平原赤道南、北部地区末次冰期与现代降水对比。

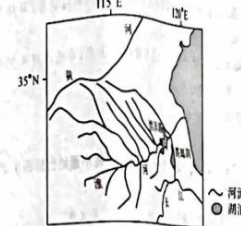


【高三地理 第5页(共6页)】

- (1) 与现代相比,描述末次冰期亚马孙平原降水状况差异。(4分)
(2) 从内源和外源角度,分析末次冰期时亚马孙平原水汽来源不足的原因。(4分)
(3) 末次冰期以来,亚马孙平原水汽含量增加,但降水并未相应增加,对此作出合理解释。(4分)

28. 阅读图文材料,完成下列要求。(14分)

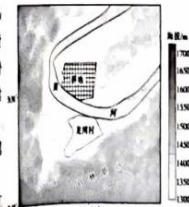
淮河发源于河南,流经河南、安徽、江苏,全长约1000千米,流域面积的27万平方千米。历史上,淮河流域鱼类众多,尤其多产鳊鱼和鲫鱼,部分鱼类幼鱼在河漫滩浅水区成长。淮河上游年入湖水量占洪泽湖总入湖水量约87%。近几十年来,随着流域内堤闸等水利开发,淮河水文事件减少,鱼卵孵化和鱼苗生长的环境改变,生物多样性锐减。在洪泽湖区,水体更新减慢,富营养化对鱼类生存威胁加剧。下图示意淮河流域水系。



- (1) 分析历史上,淮河流域鱼种类较多的自然原因。(4分)
(2) 简述淮河大洪水事件减少对鱼类生存的不利影响。(4分)
(3) 以洪泽湖为例,说明淮河水文形势变化下,维系生态系统良性发展可采取的措施。(6分)

29. 阅读图文材料,完成下列要求。(16分)

龙湾村地处甘肃黄河南岸,背靠多基岩山体。改革开放后村民多外出务工,年轻人口流失。近年来,龙湾村依托黄河石林的景观优势发展旅游业,重点推进道路工程建设。右图示意龙湾村的位置和周边环境。



- (1) 通常情况下,聚落选址于河流凸岸,对龙湾村选址在河流凹岸作出合理解释。(4分)
(2) 分析改革开放后龙湾村主要依靠外出务工获得收入的原因。(6分)
(3) 说明交通条件改善对龙湾村旅游业发展的意义。(6分)

【高三地理 第6页(共6页)】

关于我们

自主选拔在线是致力于提供新高考生涯规划、强基计划、综合评价、三位一体、学科竞赛等政策资讯的升学服务平台。总部坐落于北京，旗下拥有网站（[网址：
www.zizs.com](http://www.zizs.com)）和微信公众平台等媒体矩阵，用户群体涵盖全国 90% 以上的重点中学师生及家长，在全国新高考、自主选拔领域首屈一指。

如需第一时间获取相关资讯及备考指南，请关注**自主选拔在线**官方微信号：[zizzsw](https://www.zizs.com)。



微信搜一搜

自主选拔在线